PLD 法による SrO バッファー層を用いた SrTiO₃薄膜のSi 基板上への直接成長

Direct growth of SrTiO₃ thin films on SrO-buffered Si substrates by PLD 兵庫県立大学 ○佐々木 翼, 今中 淳弘, 堀田 育志, 佐藤 真一

Univ. of Hvogo °Tsubasa Sasaki, Atsuhiro Imanaka, Yasushi Hotta, and Shin-ichi Satoh

E-mail: eo09z045@steng.u-hyogo.ac.jp

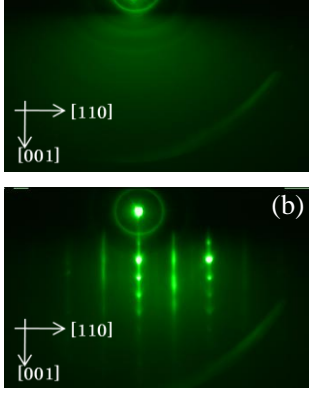
【はじめに】近年、遷移金属酸化物のユニークな物性を利用した様々な電子デバイスが考案され ているが、基板から薄膜まで酸化物材料のみで構成されているものが殆どである。今後、酸化物 デバイスを実際に応用していく上で酸化物と Si 基板との融合が必須となる。遷移金属酸化物と Si 基板のヘテロ接合は、これまでその界面にアモルファス SiO、層が優先的に形成するため困難であ ったが、McKee 達 ¹⁾による MBE 法を用いた SrO バッファー層の開発によって実現可能になって いる。我々は、更なるプロセスの簡略化と利用可能な材料の幅を広げる観点から、SrO バッファ 一層の形成、SrTiO₃(STO)/Si 構造の作製、さらにはその上への酸化物薄膜の作製までを一貫して パルスレーザ堆積(PLD)法で行うことを目指している。2) 今回は、PLD 法で作製した SrO バッフ ァーSi 基板上に、同じく PLD 法で STO 薄膜の作製を行ったのでその結果を報告する。

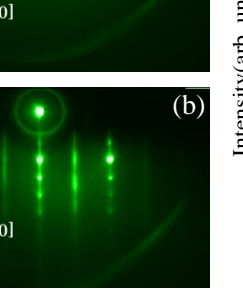
【実験方法】先ず、RCA 洗浄した p 型の Si(100)基板上に PLD 法によって SrO 層を堆積させた後、 ポストアニール処理を行い 2×1 Sr 再構成表面を形成した。STO の成膜は、PLD 法によって得ら れた再構成表面基板上に真空度 $P_{BG} = 10^{-7}$ Torr、成膜温度 $T_{o} = 400^{\circ}$ C \sim 700 $^{\circ}$ C の条件で行った。STO の膜厚は、STO 基板上に STO 薄膜を Layer-by-Layer 成長して求めた成膜レートを基に、レーザー パルス数で制御することで 10 ML~100 ML とした。続いて、基板表面の構造変化を反射高速電子 線回折(RHEED)で観察しながら in situ にて 750 $^{\circ}$ $^{\circ}$ $^{\circ}$ 1 時間のポストアニール処理を行った。各成膜 温度の試料の結晶構造を X 線回折(XRD)によって測定した。

【実験結果】図1に成膜直後とポストアニール処理後のSTOのRHEEDパターンを示す。成膜直 後では、すべての成膜条件において RHEED パターンが消滅したことから、得られた STO はアモ ルファスであった。その後、ポストアニール処理を行うことで再び RHEED パターンが出現し、 STO の結晶化が確認された。アニール後、温度を室温に下げても RHEED パターンに変化はなか ったことから、アニールによって得られた構造が安定に保持されていると思われる。図2に各T。

条件で作製した STO(50ML)/Si(100) 試料の XRD パターンを示す。2 θ が 40°付近に STO(111)面からの回折 ピークが観測され、アニール後の STO が(111)配向していることが確 認された。一方、アニール温度が一 定にも関わらず、ピーク強度の T。 依存性(600℃でピーク強度最大) が見られたことから、成膜中に膜中 に取り込まれる酸素量がアニール 後の試料の結晶性に影響を及ぼし ていると考えられる。

【謝辞】本研究の XRD 測定は阪大 産研の田中秀和教授、神吉輝夫准教 授にご協力頂きました。





(a)

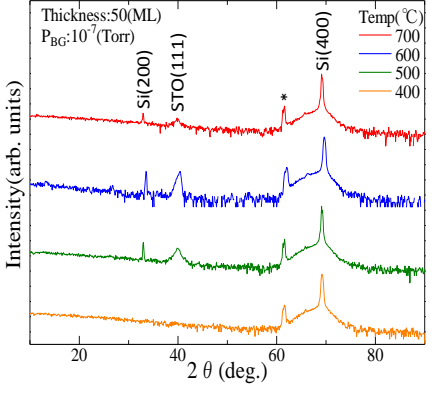


図 1: SrTiO₃ 成膜直後(a)とポスト アニール後(b)の RHEED 図

図 2: XRD による SrTiO3 結晶化の 成膜温度依存性

[参考文献] 1)R.A.McKee et al., Phys.Rev.Lett.81, 3014 (1998) 2)第 59 回応用物理学関係連合後援会講演予稿集 16a-F2-11(2012)